

Πρακτικά		4ου Συνέδριου		Μάϊος 1988	
Δελτ. Ελλην. Γεωλ. Εταιρ.		Τομ. XXIII/3 Vol.	σελ. 275-295 pag.	Αθήνα Athens	1989
Bull. Geol. Soc. Greece					

ΣΤΡΩΜΑΤΟΓΡΑΦΙΚΕΣ ΠΑΡΑΤΗΡΗΣΕΙΣ ΣΤΑ ΜΕΤΑΛΠΙΚΑ  
ΙΖΗΜΑΤΑ ΤΗΣ ΠΕΡΙΟΧΗΣ ΘΟΥΡΙΑΣ-ΑΝΩ ΑΜΦΕΙΑΣ  
(ΝΟΜΟΣ ΜΕΣΣΗΝΙΑΣ) ΚΑΙ Η ΝΕΟΤΕΚΤΟΝΙΚΗ ΕΡΜΗΝΕΙΑ  
ΤΟΥΣ

A. ΜΑΡΚΟΠΟΥΛΟΥ-ΔΙΑΚΑΝΤΩΝΗ, M.-P. MIRKOY, H. ΜΑΡΙΟΛΑΚΟΥ,  
E. ΛΟΓΟΥ, S. ΛΟΖΙΟΥ I. ΦΟΥΝΤΟΥΛΗ \*

ΣΥΝΟΨΗ

Ο προσδιορισμός του Κάτω Πλειστόκαλνου με την παρουσία της Hyalinea balthica, στα μεταλπικά ιζηματα της περιοχής μεταξύ των χωριών Θουρίας και 'Άνω Αμφειας (Ν. Μεσσηνίας), καθώς και η διαπίστωση ότι, η ιζηματογένεση ήταν συνεχής από το Άνω Πλειστόκαλνο μέχρι και το Κάτω Πλειστόκαλνο, μας δίνει την δυνατότητα να ερμηνεύσουμε από κινηματική άποψη τη νεοτεκτονική εξέλιξη του ανατολικού περιθώριου του τεκτονικού βυθίσματος της Κάτω Μεσσηνίας.

ABSTRACT

The definition of Lower Pleistocene by the presence of Hyalinea balthica, in the post-alpine sediments at the area of Thouria and Ano Amphia (Messinia), as well as the realization that the sedimentation was continued from Upper Pliocene to Lower Pleistocene, give us the opportunity to explain, from kinematic point of view, the neotectonic evolution of the eastern margin of Kato Messinia's tectonic graben.

---

A. MARCOPOULOU-DIACANTONI, M.-R. MIRKOY, I. MARIOLAKOS, E. LOGOS, S. LOZIOS, I. FOUNTOULIS. Stratigraphic observations at the post-alpine sediments at the area of Thouria - Ano Amphia (Messinia) and their neotectonic explanation.

\* Γεωλογικό Τμήμα Πανεπιστήμιο Αθηνών Πανεπιστήμιο Θεοφραστός/Τμήμα Γεωλογίας Α.Π.Θ. 1984 Αθήνα

## 1. ΕΙΣΑΓΩΓΗ - ΓΕΝΙΚΑ

Στα πλαίσια της διερεύνησης των ενεργών και μη ενεργών δομών του Νομού Μεσσηνίας, μελετήθηκαν από στρωματογραφική άποψη τα μεταλπικά ιζήματα της περιοχής Θουρίας - Α. Άμφειας και ακολούθως έγινε προσάθετα να δοθεί η νεοτεκτονική ερμηνεία των στρωματογραφικών δεδομένων.

Η Θουρία και η Α. Άμφεια βρίσκονται βόρεια της Καλαμάτας στο ανατολικό περιθώριο του τεκτονικού βυθίσματος της Κ. Μεσσηνίας, το οποίο με τη σειρά του είναι μέρος του μεγάλου τεκτονικού βυθίσματος Κυπαρισσίας-Καλαμάτας.

## 2. ΓΕΩΛΟΓΙΑ

Στην ευρύτερη περιοχή απαντούν πωκαϊνικοί και κρητιδικοί ασβεστόλιθοι καθώς και φλύσης της ενότητας Τρίπολης.

Τα μεταλπικά ιζήματα εμφανίζονται δυτικά του χωριού Α. Άμφειας και αποτελούνται κυρίως από πολύμικτα κροκαλοπαγή, μάργες, άμμους και ψαμμιτες εγκλείσουν δε μεγάλο αριθμό τόσο μακροαπολιθωμάτων όσο και μικροαπολιθωμάτων. (Εικ. 1).

## 3. ΣΤΡΩΜΑΤΟΓΡΑΦΙΑ

### 3.1. Γενικά

Άναλογες μελέτες για την ευρύτερη περιοχή έχουν γίνει από τους Α. ΖΕΛΕΛΙΔΗ, κ.α. (1986) και Α. ΚΟΥΤΣΟΥΒΕΛΗ, (1987), οι οποίοι αποδίδουν στα ιζήματα του δυτικού περιθώριου της λεκάνης Μεσσηνίας πλειοτοκαϊνική ηλικία.

Στην περιοχή που μελετήθηκε έγιναν δύο τομές. Η πρώτη 500μ. και η δεύτερη 2.500 μ. μετά τη θουρία στο δρόμο προς την Α. Άμφεια.

Τα μεταλπικά ιζήματα έχουν αποτεθεί πάνω στο καλώς διαμορφωμένο παλαιοανάγλυφο των ασβεστολίθων και του φλύση της ενότητας της Τρίπολης.

### 3.2. In Tum

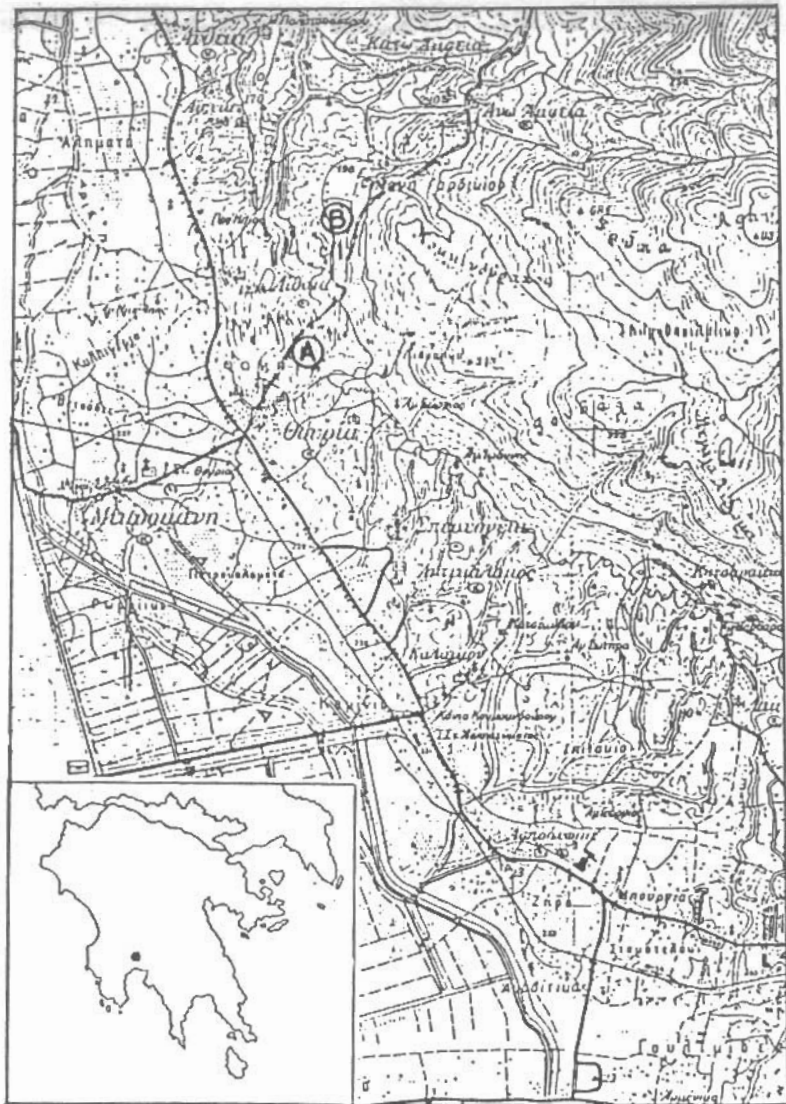
Αυτή η τομή πάρθηκε 500 μ. μετά τη θουρία στο δρόμο προς Α. Άμφεια. Στην τομή αυτή κυριαρχούν οι μάργες με μικρές ενδιαστρώσεις άμμων και ψαμμιτών, εγκλείσουν δε μεγάλο αριθμό μικρού και μακροαπολιθωμάτων. Το πάχος της τομής είναι 15μ., τα δε στρώματα παρουσιάζουν μία κλίση 15°-20° προς ΝΑ.

Στην τομή αυτή έγινε λεπτομερής δειγματοληψία στα 2,4,7 και 12 μ. όπως φαίνεται στην Εικ. 2.

Στον Πιν. I δίνεται η κατανομή και η ουχνότητα των ειδών από τις διάφορες θέσεις δειγματοληψίας (στα 2,4,7 και 12 μέτρα).

### Βιο-χρονο-στρωματογραφία

Στη θέση 500 μ. από θουρία προς Άνω Άμφεια τα ιζήματα, κυρίως μάργες και άμμοι, είναι πλούσια σε απολιθώματα (Πιν. I).



Εικ.1. Θέσεις της περιοχής που μελετήθηκε.

Fig.1. Locations of the studied area.

A: 1η τομή - 1st section

B: 2η τομή - 2nd section

ΠΙΝΑΚΑΣ Ι. Κατανομή των ειδών των απολεύθαμάτων της ίης τομής.

TABLE I. Distribution of the fossils of the 1st section.

ΑΠΟΛΙΘΩΜΑΤΑ FOSSILS	Α. ΠΛΕΙΟ- ΚΑΙΝΟ U.PLIOC:		Κ. ΠΑΕΙΣΤΟΚΑΙΝΟ L.PLEISTOCENE	
	2m	4m	7m	12m
ΑΝΝΕΛΙΔΕΣ				
<i>Serpula</i> sp.				
ΒΡΑΧΙΟΝΟΠΟΔΑ				
<i>Terebratula ampulla</i> BROCC.				
ΒΡΥΟΖΩΔΑ				
<i>Cellaria salicicornis</i> (LAM.)				
<i>Chaperia annulus</i> (MANZ.)				
<i>Crisia denticulata</i> (LMK.)				
<i>Crisia fistulosa</i> AUCT.				
<i>Entalophora</i> sp.				
<i>Idmidronea coronopus</i> DEF.R.				
<i>Diaperocoecia major</i> (JOHNS.)				
<i>Thallamoporella</i> sp.				
ΓΑΣΤΕΡΟΠΟΔΑ				
<i>Scala</i> ( <i>Euscoscala</i> ) <i>termicosta</i> MICH.				
<i>Turritella</i> ( <i>Turritella</i> ) <i>tricarinata</i> (BROCC.)				
<i>Turritella</i> ( <i>Turritella</i> ) <i>tricarinata communis</i> (R.)				
ΔΙΘΥΡΑ				
<i>Amussium cristatum</i> BRONN				
<i>Cardium</i> cf. <i>hians</i> BR.				
<i>Cardium erinaceum</i> LMK.				
<i>Chlamys multistriata</i> (POLI)				
<i>Chlamys</i> cf. <i>pes-felis</i> LINNÉ				
<i>Chlamys varia</i> (LINNÉ)				
<i>Ostrea</i> ( <i>Ostrea</i> ) <i>lamellosa</i> BROCC.				
<i>Pecten jacobaeus</i> LINNÉ				
<i>Pycnodonta germanitala</i> (DE GREG.)				
<i>Nucula</i> sp.				
ΕΞΙΝΟΕΙΔΗ				
<i>Brissus</i> sp.				
<i>Schizaster</i> cf. <i>astensis</i> LAMB.				
ΟΣΤΡΑΚΩΔΗ				
ΣΚΑΦΟΠΟΔΑ				
<i>Dentalium</i> sp.				
<i>Dentalium</i> ( <i>Antale</i> ) <i>bouei bouei</i> DESH.				

ΠΙΝΑΚΑΣ Ι (συνέχεια)

TABLE I (continued)

ΑΠΟΛΙΘΩΜΑΤΑ FOSSILS	A. ΗΑΕΙΟΚ. U. PLIOC.	Κ. ΠΛΕΙΣΤΟΚΑΙΝΟ L. PLEISTOCENE		
	2m	4m	7m	12m
ΤΡΗΜΑΤΟΦΟΡΑ				
<i>Ammonia beccarii</i> (LINNÉ)				
<i>Amphistegina lessonii</i> D' ORB.				
<i>Asterigerinata planorbis</i> (D' ORB.)				
<i>Bigenerina nodosaria</i> D' ORB.				
<i>Bolivina punctata</i> D' ORB.				
<i>Brizalina alata</i> (SEG.)				
<i>Bulimina etnea</i> SEG.				
<i>Cancris auriculus</i> (FICHT. & MOLL)				
<i>Cassidulina neocarinata</i> THALM.				
<i>Cibicidoides ungerianus</i> (D' ORB.)				
<i>Cibicidoides robertsonianus</i> (BRADY)				
<i>Dorothia gibbosa</i> (D' ORB.)				
<i>Elphidium crispum</i> (LINNÉ)				
<i>Elphidium macellum</i> (FICHT. & MOLL)				
<i>Furstenkoina schreibersiana</i> (CZJZEK)				
<i>Globigerina bulloides</i> D' ORB.				
<i>Globigerina falconensis</i> BLOW				
<i>Globigerina praebulloides</i> BLOW				
<i>Globigerinata glutinata</i> (EGGER)				
<i>Globigerinoides elongatus</i> (D' ORB.)				
<i>Globigerinoides extremus</i> BOLLI & BERMUDEZ				
<i>Globigerinoides obliquus</i> BOLLI				
<i>Globigerinoides ruber</i> (D' ORB.)				
<i>Globigerinoides sticanus</i> DE STEFANI				
<i>Globobulimina</i> sp.				
<i>Globorotalia crassaformis</i> GALL. & WISSL.				
<i>Globorotalia inflata</i> (D' ORB.)				
<i>Globorotalia obesa</i> BOLLI				
<i>Globorotalia scitula</i> (BRADY)				
<i>Guttulina communis</i> (D' ORB.)				
<i>Gyroidinoides longispira</i> (TED. & ZANM.)				
<i>Gyroidinoides umbonatus</i> (SILV.)				
<i>Hanzawaia boueana</i> (D' ORB.)				
<i>Hastigerina siphonifera</i> (D' ORB.)				
<i>Hyalinea balthica</i> (SCHROETER)				

Ψηφιακή Βιβλιοθήκη "Θεόφραστος" - Τμήμα Γεωλογίας. Α.Π.Θ.

ΠΙΝΑΚΑΣ Ι. (συνέχεια)

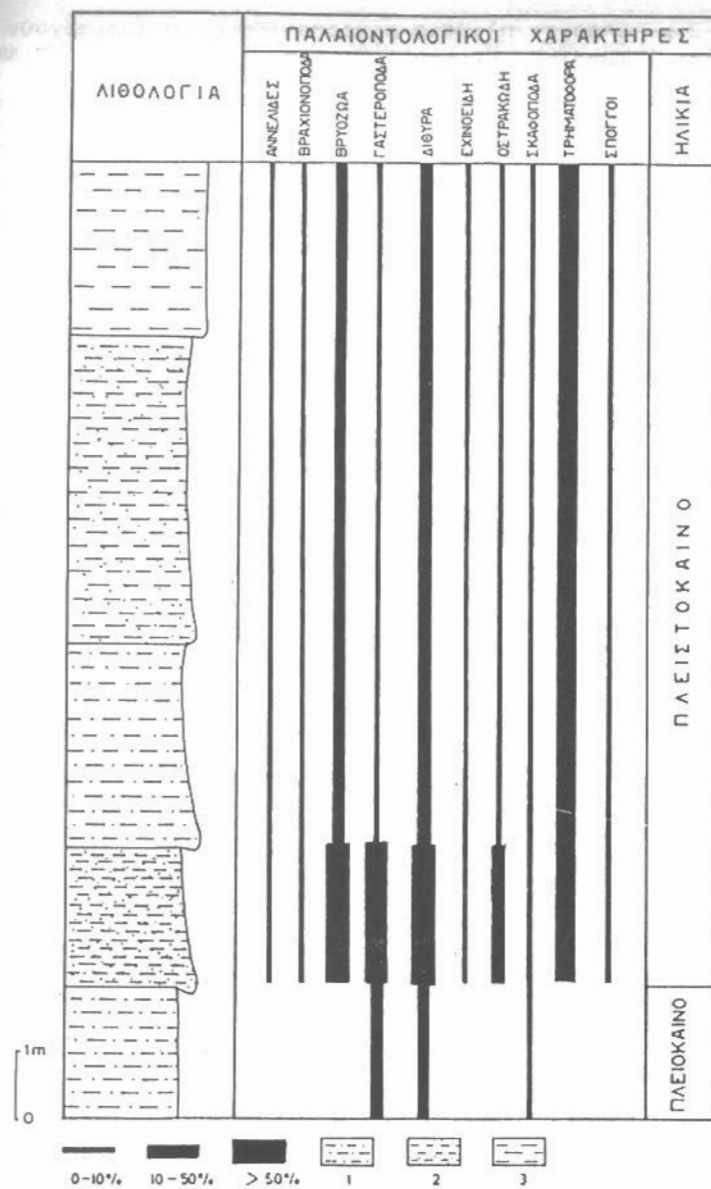
TABLE I. (continued)

ΑΙΓΑΙΟΝ ΜΑΤΑ FOSSILS	A. ΠΑΕΙΟΚ. U. PLIOC.	Κ. ΠΑΕΙΣΤΟΚΑΙΝΟ L. PLEISTOCENE		
	2 m	4 m	7 m	12 m
<i>Melonis padarum</i> (PERCONIG)				
<i>Martinottiella communis</i> (D' ORB.)				
<i>Neogloboquadrina acostaensis</i> (BLOW)				
<i>Nonionella turgida</i> (WILL.)				
<i>Orbulina universa</i> D' ORB.				
<i>Oridorsalis stellatus</i> (SILV.)				
<i>Planorbulina mediterranensis</i> D' ORB.				
<i>Planulina ariminensis</i> D' ORB.				
<i>Pullenia bulloides</i> (D' ORB.)				
<i>Pullenia quinqueloba</i> (REUSS)				
<i>Pandaglandulina dinapolii</i> LOEBLICH & TAPPAN				
<i>Pyrgo depressa</i> (D' ORB.)				
<i>Pyrgo oblonga</i> (D' ORB.)				
<i>Quinqueloculina pulchella</i> D' ORB.				
<i>Quinqueloculina vulgaris</i> D' ORB.				
<i>Quinqueloculina seminulum</i> (LINNÉ)				
<i>Reussella spinulosa</i> (REUSS)				
<i>Rosalina globularis</i> D' ORB.				
<i>Sigmoilinita tenuis</i> (CZJZEK)				
<i>Sigmoilopsis celata</i> (COSTA)				
<i>Sphaeroidina bulloides</i> D' ORB.				
<i>Textularia</i> sp.				
<i>Textularia saggitula</i> DEF.R.				
<i>Spiroplectammina wrighti</i> (SILV.)				
<i>Spiroloculina canaliculata</i> D' ORB.				
<i>Triloculina austriaca</i> D' ORB.				
<i>Uvigerina peregrina</i> CUSH.				
<i>Uvigerina proboscidea</i> SCHW.				
<i>Valvularineria bradyana</i> (FORNASINI)				
ΣΠΟΤΤΟΙ				
<i>Cliona</i> sp.				

ΠΙΝΑΚΑΣ Ι. (συνέχεια)

TABLE I. (continued)

ΑΠΟΛΙΘΩΜΑΤΑ FOSSILS	Α. ΠΛΕΙΟΚ. U. PLIOC.				Κ. ΠΛΕΙΣΤΟΚΑΙΝΟ L. PLEISTOCENE			
	2 m	4 m	7 m	12 m				
<i>Melonis padamum</i> (PERCONIG)								
<i>Martinottiella communis</i> (D' ORB.)								
<i>Neogloboquadrina acostaensis</i> (BLOW)								
<i>Nonionella turgida</i> (WILL.)								
<i>Orbulina universa</i> D' ORB.								
<i>Oridorsalis stellatus</i> (SILV.)								
<i>Planorbulina mediterranensis</i> D' ORB.								
<i>Planulina ariminensis</i> D' ORB.								
<i>Pullenia bulloides</i> (D' ORB.)								
<i>Pullenia quinqueloba</i> (REUSS)								
<i>Pandaglandulina dinapolii</i> LOEBLICH & TAPPAN								
<i>Pyrgo depressa</i> (D' ORB.)								
<i>Pyrgo oblonga</i> (D' ORB.)								
<i>Quinqueloculina pulchella</i> D' ORB.								
<i>Quinqueloculina vulgaris</i> D' ORB.								
<i>Quinqueloculina seminulum</i> (LINNÉ)								
<i>Reussella spinulosa</i> (REUSS)								
<i>Rosalina globularis</i> D' ORB.								
<i>Sigmoilinita tenuis</i> (CZJZEK)								
<i>Sigmoilopsis celata</i> (COSTA)								
<i>Sphaeroidina bulloides</i> D' ORB.								
<i>Textularia</i> sp.								
<i>Textularia saggitula</i> DEFR.								
<i>Spirolectammina wrighti</i> (SILV.)								
<i>Spiroloculina canaliculata</i> D' ORB.								
<i>Triloculina austriaca</i> D' ORB.								
<i>Uvigerina peregrina</i> CUSH.								
<i>Uvigerina proboscidea</i> SCHW.								
<i>Valvularineria bradyana</i> (FORNASINI)								
ΣΠΟΡΓΟΙ								
<i>Cliona</i> sp.								



Εικ. 2. Λιθοστρωματογραφία και συχνότητα απολιθωμάτων στα είδήματα της 1ης Τομής.

1: μάργα, 2: μαργαίκος ψαμμίτης, 3: συνεκτικός μαργαίκος ψαμμίτης

Fig. 2. Lithostratigraphy and frequency of the fossils in the sediments of the 1st Section.

1: marle, 2: marly sandstone, 3: compact marly sandstone

Σε ύψος 2 μ. υπάρχει πλούσια μακροπανίδα όπου κυριαρχούν τα γένη *Turritella*, *Ammussium*, *Pecten*, *Ostrea*, *Dentalium*, *Chlamys* κ.ά.

Τα μικροαπολιθώματα αντιπροσωπεύονται κυρίως από βενθονικά Τρηματοφόρα, λίγα πλαγκτονικά και από Βριθάνω, Οστρακώδη κ.ά. Από τη στρωματογραφική εξάπλωση των προσδιορισθέντων ειδών μακροαπολιθωμάτων που αφθονούν στο Πλειόκαλινο ή είναι δείκτες του Πλειόκαλινου (*Ammussium cristatum*, *Schizaster astensis*, *Pycnodonta germanitalia*, *Dentalium (Antale) bouei bouei*) μπορεί να εκφρασθεί η άποψη ότι τα ιζήματα αυτά αποτελούνται στο Πλειόκαλινο σε περιβάλλον ήρεμης ρηχής θάλασσας (Πιν. II). Υπήρχε δηλαδή ένα είδος παλαιοκόλπου ανοικτού στη θάλασσα, αλλά προστατευμένου από τα ισχυρά ρεύματα. Αυτό διαπιστώνεται και από την παρατήρηση του ιζηματολογικού υλικού (χαμηλής ενέργειας). Δεδομένου όμως ότι το είδος *Globorotalia inflata* εμφανίζεται στο Ανώτερο Πλειόκαλινο πειτέρει να δεχθούμε ότι π ηλικία των ιζημάτων αυτών καθορίζεται ως ανωπλειόκαλινη.

Στα 4 μ. πάνω από το δρόμο τα ιζήματα είναι πιστοί χαλαρά (ψαμμούχα μάργα έως άμμος) πλούσια σε μικρό και μακροαπολιθώματα. Στο συγκεκριμένο στρώμα (σε ύψος 4 μ.) βρέθηκε το χαρακτηριστικό είδος *Hyalinea halthica*, δείκτης του Κατώτερου Πλειότοκαλινου (BIZON & MULLER, 1977).

Συνεπώς, φαίνεται ότι π ο ιζηματογένεση ήταν συνεχής από το Ανώτερο Πλειόκαλινο στο Κατώτερο Πλειότοκαλινο.

### 3.3. 2η Τομή

Σε απόσταση 2,5 km από την θουρία, στο δρόμο προς Α. Αμφεια, παρατηρείται μία ακολουθία στρωμάτων πάχους άνω των 30 μ. με κλίση 15°-20° προς ΝΑ.

Τα μεταλπικά αυτά ιζήματα αποτελούνται κύρια από ψαμμίτες και ψαμμούχες μάργες με σχετικά μεγάλο αριθμό απολιθωμάτων όπως: *Ostrea lamellosa*, *Flabellipecten flabelliformis*, *Terebratula ampulla* κ.ά. Η μικροπανίδα παρουσιάζεται πλούσιατερη στους ανώτερους ορίζοντες της σειράς με κυριαρχούντα τα βενθονικά Τρηματοφόρα και σε μικρότερο αριθμό τα Ακτινόδωνα και τα Οστρακώδη.

Στην Εικ. 3 παρουσιάζονται η λιθολογία της δειγματοληψίας, καθώς και η κατανομή και η συχνότητα των απολιθωμάτων. Στον πίνακα III δινεται η κατανομή και η συχνότητα των ειδών στα επιμέρους στρώματα.

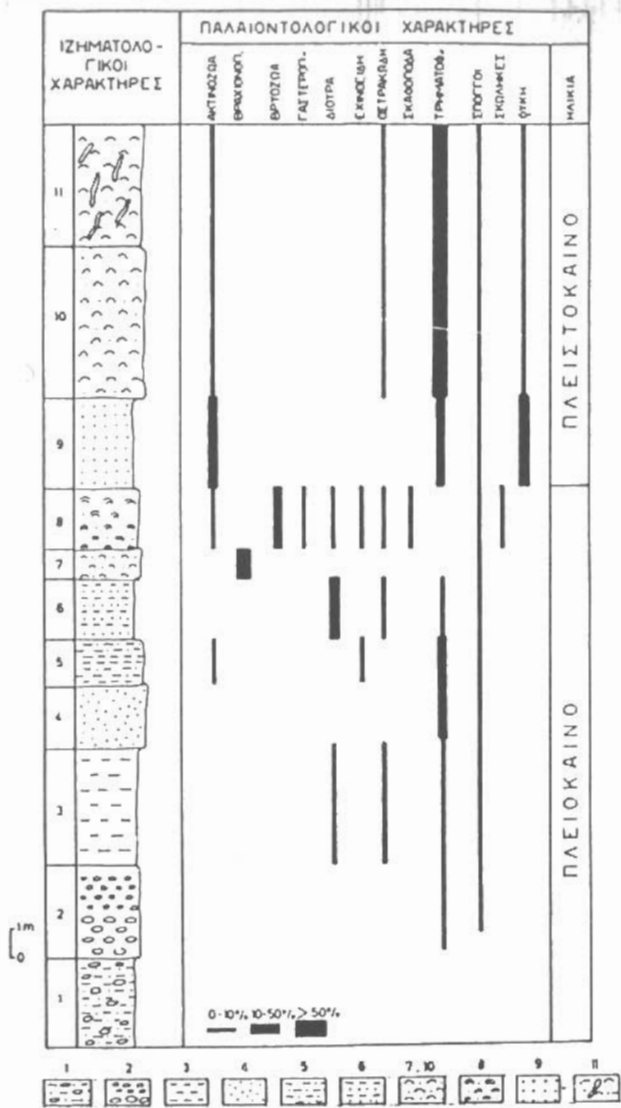
#### Βιο-χρονο-στρωματογραφία

Στην 2η τομή (Εικ. 3) παρατηρείται μία πλούσια μακρο- και μικροπανίδα στα στρώματα 7, 10 και 11.

Στα στρώματα 3-7 κυριαρχούν τα μακροαπολιθώματα *Flabellipecten flabelliformis*, *Terebratula ampulla*, *Cadulus (Cadulus) gadus* χαρακτηριστικά απολιθωμάτα του Πλειόκαλινου που έζησαν σε θαλασσιο παράκτιο περιβάλλον.

Η παρουσία ακανθών Ξεινων (*Cidaris sp.*, *Brissus sp.*) καθώς επίσης και πλακών Ολοθουροειδών μαζί με τα παραπάνω είδη συνηγορούν για το περιβάλλον (ρηχή θάλασσα).

Το στρώμα 8 εγκλείει βενθονικά Τρηματοφόρα, που π



Εικ.3. Λιθοστρωματογραφία της τομής 2.(1. φαμιτοκροκαλοπαγές, 2. κροκαλοπαγές με κροκάλες διαφόρων διαστάσεων, 3. μάργα, 4. χαλαρός φαμιτης, 5. μαργαϊκός φαμιτης, 6. συνεκτικός μαργαϊκός φαμιτης, 7. & 10. φαμιούχα μάργα, 8. συνεκτική φαμιτική μάργα, 9. φαμιούχα μάργα-άμμος, 11. φαμιούχα μάργα με ασβεστιτικά συγκρύμματα).

Fig.3. Lithostratigraphy of the 2nd section.

ΟΙΚΟΛΟΓΙΚΟΙ ΠΑΡΑΓΑΝΤΕΣ		B A O Ζ ( mm )	ΠΟΛΙΚΟ ΣΥΓΚΡΑΤΟΥΜΕΝΟ ΤΗΡΩΤΙΚΟ	Θερινό ΣΥΓΚΡΑΤΟΥΜΕΝΟ ΤΗΡΩΤΙΚΟ
ΑΠΟΛΙΘΩΜΑΤΑ	ΟΠΑΝΤΕΣ	10 20 40 60 80 100 120 140 160 180 200 220 240	0 - 5°C 5 - 10°C 10 - 15°C 15 - 20°C 20 - 25°C	0 - 5°C 5 - 10°C 10 - 15°C 15 - 20°C 20 - 25°C
Απολιθωμένα αλατούδια βιομηχανικά προϊόντα επιδειξιανά απολιθωμένα τυφλίδια				
Orthisca virgatae sp. Purpura abietinae sp. Glycine clandestinae sp. Tetraclaria glomeratae sp. Zizaniopsis pumila sp. Cleome gummiferae sp. Dianthus barbatus sp. Sorbus aucupariae sp.				
Διαδέσμη βιομηχανικά προϊόντα επιδειξιανά απολιθωμένα τυφλίδια				
4				
Asteropeltis pinnata pinnatae Bulimulus undulatus sp. Ceratostoma mediterraneum Ceratostoma sp. Hedera helix sp. Hedera helix sp. Ceratostoma sp. Ceratostoma sp. Ceratostoma sp. Argiope sp. Centruroides edwardsi Achelias gracilis sp. Testudinaria spp. Trigonella patagonica Gibbaeum pulchellum Aichrodon rotundifolius Astrophytum myriostigma Briza sp. Lomatium sp. Carica caricae sp. Succowia jordanensis Lidice sp. Termitaria sp.				
3				

Πύν. ΙΙ. Παλαιοσυχολογικά δεδομένα στό μελέτη ακολουθώνται.

SUS TUTORIS.

Tabl.II.Paleoecological data from the studied fossils of the 1st section.

ΠΙΝΑΚΑΣ III. Κατανομή των ειδών των απολιθωμάτων της 2ης τομής.

TABLE III. Distribution of the fossils of the 2nd section.

ΑΠΟΛΙΘΩΜΑΤΑ FOSSILS	Π Α Ε Ι Ο Κ Α Ι Ν Ο Ρ Λ Ι Ο Σ Ε Ν Ε										ΠΑΕΙΣΤΟΚ. PLEISTOC.
	1	2	3	4	5	6	7	8	9	10	
ΑΝΝΕΛΙΔΕΣ											
<i>Serpula</i> sp.											
ΑΚΤΙΝΟΖΑ											
ΒΡΑΧΙΟΝΟΠΟΔΑ											
<i>Terebratula ampulla</i> BROCC.											
<i>Terebratula</i> cf. <i>ampulla</i> BROCC.											
ΒΡΥΟΖΑ											
<i>Cellaria salicicornis</i> (LAM.)											
<i>Crisia denticulata</i> (LMK.)											
<i>Crisia fistulosa</i> AUCT.											
<i>Diaperoecia major</i> (JOHNS.)											
ΓΑΣΤΕΡΟΠΟΔΑ											
ΔΙΘΥΡΑ											
<i>Chlamys</i> sp.											
<i>Chlamys varia</i> (LINNE)											
<i>Flabellipecten flabelliformis</i> BROCC.											
<i>Ostrea</i> sp.											
<i>Ostrea</i> ( <i>Ostrea</i> ) <i>lamellosa</i> BROCC.											
<i>Pecten</i> sp.											
<i>Venus</i> sp.											
ΕΧΙΝΟΕΙΔΗ											
<i>Brissus</i> sp.											
<i>Cidaris</i> sp.											
ΟΛΟΘΟΥΡΟΕΙΔΗ											
ΟΣΤΡΑΚΩΔΗ											
ΕΚΑΦΟΠΟΔΑ											
<i>Cadulus</i> ( <i>Cadulus</i> ) <i>gadus</i> MONT.											
<i>Siphonodentalium</i> sp.											
ΣΠΟΓΓΟΙ											
ΤΡΗΜΑΤΟΦΟΡΑ											
<i>Anomia beccarii</i> LINNÉ											
<i>Asterigerinata planorbis</i> (D' ORB.)											
<i>Bifurcerina nodosa</i> D' ORB.											
<i>Bolivina pseudoplicata</i> HER.-ALL. & EARL.											
<i>Brizalina</i> sp.											

ΠΙΝΑΚΑΣ III. (συνέχεια)

TABLE III. (continued)

ΑΠΟΛΙΘΩΜΑΤΑ FOSSILS	Π Α Ε Ι Ο Κ Α Ι Ν Ο P L I O C E N E								ΠΑΙΣΙΤΟΚ. PLEISTOC.		
	1	2	3	4	5	6	7	8	9	10	11
<i>Bulimina basispinosa</i> TED. & ZANM.											
<i>Cancris auriculus</i> (FICHT. & MOLL)											
<i>Cassidulina neocarinata</i> THALM.											
<i>Cibicides lobatulus</i> (WALK. & JAC.)											
<i>Cibicidoides pseudoungerianus</i> (CUSH.)											
<i>Cibicidoides ungerianus</i> (D' ORB.)											
<i>Dorothia gibbosa</i> (D' ORB.)											
<i>Elphidium aculeatum</i> (D' ORB.)											
<i>Elphidium cf. flexuosum</i> (D' ORB.)											
<i>Elphidium crispum</i> (LINNÉ)											
<i>Elphidium macellum</i> (FICHT. & MOLL)											
<i>Furstenkoina schreibersiana</i> (CZJZL.)											
<i>Globigerina apertura</i> CUSH.											
<i>Globigerina buloides</i> D' ORB.											
<i>Globigerinoides elongatus</i> (D' ORB.)											
<i>Globigerinoides obliquus</i> BOLLI											
<i>Globigerinoides ruber</i> (D' ORB.)											
<i>Globobulimina</i> sp.											
<i>Marginulina cherensis</i> TED. & ZANM.											
<i>Nonionella</i> sp.											
<i>Nonionella turgida</i> (WILL.)											
<i>Orbulina universa</i> D' ORB											
<i>Oridorsalis umbonatus</i> (REUSS)											
<i>Pandaglandulina dinapolii</i> LOEBL. & TAPP.											
<i>Planulina ariminensis</i> D' ORB.											
<i>Planulina willerstorfi</i> (SCHW.)											
<i>Reussella spinulosa</i> (REUSS)											
<i>Sphaeroidina bulloides</i> D' ORB.											
<i>Textularia soldanii</i> FORN.											
<i>Textularia</i> sp.											
<i>Uvigerina peregrina</i> CUSH.											
ΦΥΚΗ											
<i>Lithophyllum racemosus</i> (LMK.)											

Τα Miliolidae είναι πολύ παράκτια.

Η Quinqueloculina συναντάται από την υποπαράκτια (5-15 μ.) έως την περιπαράκτια ζώνη (35-90 μ.) (VENEC-PEYRE, 1984).

Το Pyrgo depressa βρίσκεται περιπαράκτια από τα 70 μ. BLANC-VERNET, 1967).

Η H. balthica είναι σπάνια από τα 89 μ. Βάθος ενώ γίνεται συχνότερη από τα 240 μ. (G. et J.J. BIZON, 1984). (Εικ. 4: 6,7).

Η Bulimina ζει στα 90-150 μ. (G. et J.J. BIZON, 1984).

Το είδος Uvigerina peregrina συναντάται μεταξύ 80-700 μ.

Η Nonionella turgida προτιμά τα λεπτόκοκκα ιζήματα. Εξελισσεται περίου στα 35 μ.

Το γένος Oridorsalis εξαφανίζεται στη Μεσόγειο από τους χρόνους των παγετώνων (BLANC-VERNET, 1969). Το Oridorsalis tener stellatus βρίσκεται στο βάθος των 40-4000 μ. PFLUM & FRERICHS, 1976). Φαίνεται ότι είναι ένα είδος σχετικά βαθύ.

Το είδος Cibicides lobatulus συναντάται στο βάθος 35-50 μ. στην υποπαράκτια ζώνη.

Τα Cibicides (αμφίκυρτα) ζουν σε μεγαλύτερα βάθη από το C. lobatulus.

Η Planulina ariminensis είναι κοινό είδος μέσα στην ιλύ της βαθύτατης ζώνης της Μεσογείου. Συχνά εμφανίζεται στη βάση της επιπαράκτιας ζώνης (BLANC-VERNET, 1969).

Η Cassidulina neocarinata κατά τον BROLSMA, (1978) απαντά στο βάθος των 100-200 μ. ενώ κατά BIZON, 1984 στα 40 μ.

Η Pullenia bulloides εμφανίζεται στα 90 μ. (VENEC-PEYRE, 1984).

Τα Elphidium spp., συνδέονται με την ευφωτική ζώνη.

Σημαντικός αριθμός βενθονικών Τρηματοφόρων είναι επιφυτα, όπως Elphidium, Rosalina globularis, Asterigerinata planorbis, Cibicides lobatulus, Hanzawaia boueana, Planorbulina mediterranensis. Όλα αυτά δείχνουν ένα υποπαράκτιο περιβάλλον.

Η παρουσία Κυκλοστομάτων Βρυοζώων όπως Crisia και Diaperoecia που απαντούν σε μεγάλο αριθμό στη Μεσογειακή λεκάνη υποδηλώνει τηρέμο περιβάλλον. Ζεστά νερά, μικρό βάθος και χαλαρό υπόβαθρο. (Εικ. 4: 4).

Η παρουσία από τα Χειλοστόματα Βρυόζωα του είδους Cellaria salicicornis που ανήκει στον τύπο cellariform δείχνει μικρό βάθος (15-45 μ. CERETI και POLUZZI, 1973).

Κατά CERETI-POLUZZI (1973) το είδος Chaperia annulus έχει βρεθεί σε ιζήματα χαμηλής ενέργειας με βάθος 115 μ.

Η απουσία μορφών του τύπου lunulitiform που ζουν σε περιοχές με ισχυρά ρεύματα επιβεβαίωνε το τηρέμο περιβάλλον απόθεσης.

Επίσης η παρουσία Αννελιδών Σκωληκών, Διεύρων κ.α. που βρίσκονται σε πολύ καλή κατάσταση διατήρησης δείχνει ότι δεν υπήρχε μεταφορά αλλά όλοι οι ορχανισμοί προέρχονται από τον ίδιο παλαιοβιότοπο. Πρόκειται για μια θανατοκοινότητα, όπως αυτή εκφράζεται κατά GALL (1976) ή αυτόχθονη ορυκτοκοινότητα.

### Συζήτηση - Συμπεράσματα

Στα ιζήματα μας παρατηρήθηκε το είδος Hyalinea balthica. Από τους G.BIZON & C. MULLER. (1977) αναφέρεται ότι τα είδη H. balthica και Cypridina islandica θεωρούνται σαν ξένοι του Βορρά

στρωματογραφική τους εξάπλωση αναφέρεται μέχρι σήμερα.

Στα στρώματα 9-11 εκτός των Τρηματοφόρων, Ακτινοζώων, Οστρακωδών κυριαρχούν τα Ροδοφύκη: Lithophyllum racemos, Πρόκειται για Ασθενοφύκη (Rhadophyta, Corallinaceae, Melobesioideae, Lithophylleae) επιφλοιωμένες μορφές που απαντούν στη Μεσόγειο, Ερυθρά Θάλασσα και Ακτές Σιάμ. Αναφέρονται από τις πλειστοκαίνικές αποθέσεις της Καλαβρίας. Σικελίας και Σομαλίας. Επίσης από τους πλειστοκαίνικους ασθενολιθικούς σχηματισμούς των νήσων Mariana (Saipan). Γενικά τα Φύκη είναι δείκτες πλικίας και περιβάλλοντος (JOHNSON, H.J., 1957) και μπορούν να χρησιμοποιηθούν για στρωματογραφικούς συσχετισμούς.

Οι επιφλοιωμένες μορφές των Ροδοφυκών έχουν βρεθεί από την μεσοπαλιρροιακή ζώνη μέχρι βάθους 200 μ. και σε μεγαλύτερα βάθη στις τροπικές περιοχές. Οι πολύ λεπτές επιφλοιώσεις αυτών των Φυκών ζουν από την παλιρροιακή ζώνη μέχρι τα ανώτερα 100 μ. (LEMOINE, 1940, p. 86). Γιά τις κλαδωτές μορφές, όπως είναι οι ανευρεθείσες στα στρώματα 9-11, αναφέρονται βάθη 10-60 μ. Επιπλέον η διανομή τους στο θαλάσσιο χώρο επηρεάζεται και από πολλές άλλες οικολογικές συνθήκες: την διεύθυνση του φωτός, τη κίνηση των θαλασσίων μαζών, τη φύση του πυθμένα, την παρουσία ή απουσία αιωρουμένων στοιχείων, την αλμυρότητα του νερού κ.ά.

Γιά την πλειστοκαίνική ηλικία των στρωμάτων 9-11 συνηγορούν και πολλά Βενθονικά Τρηματοφόρα και ιδιαίτερα τα είδη Bulimina basispinosa και Marginulina cherensis. Αν μπορούσαμε με ακρίβεια να βασιστούμε στα τελευταία, θα μπορούσαμε να πούμε ότι τα εν λόγω στρώματα είναι του Κ. Πλειστοκαίνου, επειδή τα Τρηματοφόρα αυτά έχουν μια στρωματογραφική εξάπλωση Πλειόκαινο - Κ. Πλειστόκαινο.

#### 3.4. Παλαιοοικολογικά δεδομένα

Από τη μελέτη των Τρηματοφόρων παραθέτουμε ορισμένα παλαιοοικολογικά στοιχεία, που μας επιτρέπουν να συμπεράνουμε τις συνθήκες κάτω από τις οποίες οι οργανισμοί αυτοί έζησαν (βάθος, φως, υπόβαθρο, θερμοκρασία κ.λ.π.).

Από τα πλαγκτονικά Τρηματοφόρα τα είδη G. sacculifer, G. ruber και O. universa ζουν σε ζεστά τροπικά - υποτροπικά νερά και σε μικρά βάθη μέχρι 50 μ.

Γιά το είδος G. inflata οι G. και J.J. BIZON (1984) αναφέρουν ότι απαντά σε ζεστά βαθειά νερά, αλλά τα ενήλικα άτομα ζουν σε βάθη μικρότερα των 100 μ. Αναπτύσσονται κυρίως στη μεσοπελαγική ζώνη (ALLAN W.H.BE, 1977).

Το είδος G. bulloides προτιμά εύκρατα νερά αλλά και κρύα (βάθος 50-100 μ.).

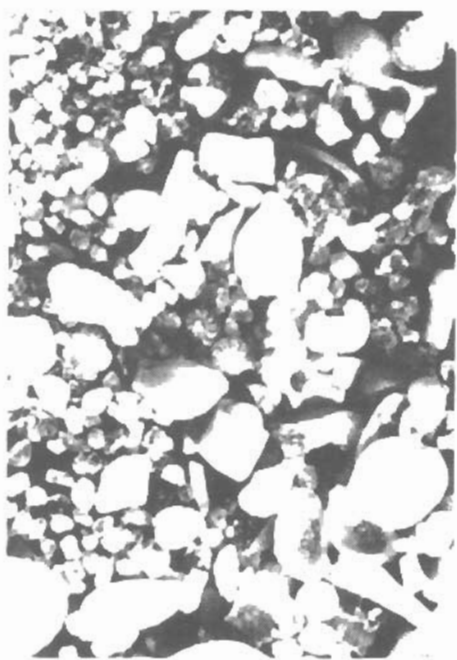
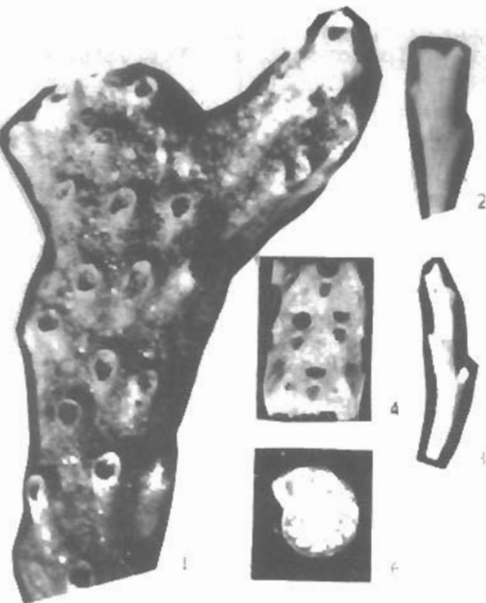
Το είδος G. scitula θεωρείται επίσης υποπολικό.

Το είδος G. elongatus είναι επιπελαγικό, ενώ το Hastigerina siphonifera θεωρείται αντιπρόσωπος ζεστών νερών (ALLAN W.H.BE, 1977).

Από τα Βενθονικά Τρηματοφόρα δίνονται οι παρακάτω πληροφορίες.

Τα είδη της Textularia ζουν μέχρι το βάθος των 200 μ. και προτιμούν αμμώδεις φάσεις.

Το είδος Bigenerina nodosaria εμφανίζεται στα 74 μ. και αφθονεί στα 150-200 μ. (J. BIZON & BUROLLET, 1984).



Εικ.4. Μερικά απολιθώματα της μελετηθείσας περιοχής.

1. *Diaperoecia major* (JOHNST.), X18, 3.
2. *Crisia denticulata* (IMK.), βασική επιφάνεια, X18, 6.
3. *Crisia fistulosa* AUCT., X23, 3.
4. *Cellaria salicicornoides* (LAM.), X18, 6.
5. Μικροπανίδα αποτελούμενη από Βρυόζωα (*Thalamoporella* sp., *Jedidronea coronopus* DEF., *Crisia denticulata* (IMK.) κ.ά.), Οστρακώδη, Τρηματοφόρα κ.ά.. X12.

6. *Hyalinea balthica* (SCHR.), X20. 7. Μικροπανίδα της 1ης τομής. Στο κέντρο διακρίνεται η *Hyalinea balthica* (SCHR.). X20.

Fig.4. Some fossils from the sections of Thouria-A-Lamprinia (Messinia).  
Ψηφιακή Βιβλιοθήκη "Θεόφραστος" - Τμήμα Γεωλογίας. Α.Π.Θ.

. Ετοι η H. balthica μπαίνοντας στη Μεσόγειο δειχνει μιά πρώτη ψύξη. Όμως από τους ίδιους συγγραφείς εκφράζεται η άποψη ότι η H. balthica δεν θα πρέπει να είναι κρυψώφιλο είδος αφού παρατηρήθηκε σε τροπικές ακολουθίες του Ινδο-Ειρηνικού Ωκεανού από το K. Πλειόκαινο (Σώνη G. margaritae, documents inedits BEICIP).

Δεδομένου ότι το είδος H. balthica έχει βρεθεί με τα ζεστά τροπικά είδη G. ruber και G. sacculifer θα πρέπει να σκεψθούμε ότι ισως και τα ισήματα της μελετηθείσας περιοχής αποτέθηκαν σταν επικρατούσες εύκρατα υποτροπικό κλίμα. (Πιν. IV).

Η άνω-πλειοκαίνική πλικία στηρίζεται: i) στα χαρακτηριστικά απολιθώματα του Πλειοκαίνου Ammusium cristatum, Schizaster astensis, Pycnodonta germanitalia, Dentalium (Antale) bouei bouei και ii) στη παρουσία του Τρηματοφόρου Globorotalia inflata με πρώτη εμφάνιση στη Ανώτερο Πλειόκαινο.

Η πλικία του Κατώτερου Πλειοτοκαίνου στηρίζεται στην παρουσία της Hyalinea balthica.

Από τα παλαιοϊοικολογικά δεδομένα των μελετηθέντων απολιθώματων προκύπτει ότι η απόθεση έγινε σε περιβάλλον θαλάσσιο, μικρού βάθους, υποπαράκτιο έως περιπαράκτιο, σε ζεστά και ήρεμα νερά. (Πιν. II, Πιν. IV).

#### 4. NEOTEKTONIKH EPMHNEIA

Έχοντας υπόψη τα στοιχεία που αναφέρθηκαν προηγουμένως, έγινε μιά προσπάθεια ερμηνείας της νεοτεκτονικής εξέλιξης της περιοχής θουρίας - Α. Αμφειας.

Στο Μέσο Μειόκαινο σημειώνεται το τέλος των εφαπτομενικών κινήσεων.

Στο Ανώτερο Μειόκαινο αρχίζει ο ρηγματογόνος τεκτονισμός, με αποτέλεσμα τη δημιουργία τεκτονικών βυθισμάτων και κεράτων. Η συγκεκριμένη περιοχή βρίσκεται στο ανατολικό περιθώριο του τεκτονικού βυθισμάτος της Κάτω Μεσοηνίας, το οποίο χερσεύει.

Κατά το Κατώτερο Πλειόκαινο επαναδραστηριοποιούνται τα ρήγματα και η ευρύτερη περιοχή βυθίζεται, οπότε αρχίζει η απόθεση των νεογενών ισημάτων. Η στενή περιοχή θουρίας - Α. Αμφειας εξακολουθεί να χερσεύει και να διαθρώνεται αν και κατέρχεται.

Κατά το Ανώτερο Πλειόκαινο η περιοχή βυθίζεται κάτω από την στάθμη της θάλασσας, οπότε αποτίθενται τα ισημάτα πάνω στο καλώς διαμορφωμένο παλαιοανάγλυφο των αλπικών σχηματισμών. Η ισηματογένεση γίνεται σε θαλάσσιο περιβάλλον μικρού βάθους. Η ισηματογένεση συνεχίζεται στο ίδιο περιβάλλον και κατά το Κατώτερο Πλειοτοκαίνο.

Δεδομένου ότι:

- 1) Υπολείμματα των πλειοτοκαίνικών ισημάτων βρίσκονται μέχρι 450 μ. απόλυτο υψόμετρο.
- 2) Μεταξύ της δεύτερης τομής που είναι σε απόλυτο υψόμετρο 200 μ. και των υπολείμματικών εμφανίσεων δεν παρατηρείται κάποιο ή κάποια ρήγματα.
- 3) Μεταξύ των δύο θέσεων όπου προσδιορίζεται η βάση του Κάτω Πλειοτοκαίνου υπάρχουν 3 ρήγματα που κόβουν τους μεταλπικούς σχηματισμούς χωρίς μεγάλο άλμα. Ετοι στη θουρία το Κάτω

ΔΙΚΟΛΑΓΙΚΟΙ ΒΑΘΟΣ		ΠΑΡΑΓΟΝΤΕΣ	
ΑΝΟΛΙΘΩΜΑΤΑ	ΧΡΟΝΙΑ	ΠΟΛΥΙΟ ΛΥΚΡΑΙΟ	ΥΠΟΙΚΟΛΟΥΘΟΙ ΤΡΟΠΟΙ
Σημείο Αρχών Ρωμαϊκής			
<i>Bivalvia</i> spp.			
<i>Cerithiidae</i> <i>modestissima</i>			
11 <i>Terebratula</i> <i>armata</i> nomen			
<i>Lingula</i> <i>gigantea</i> <i>planaria</i>			
<i>Conularia</i> <i>arborescens</i>			
<i>Licinostylus</i> <i>heteromorphus</i>			
<i>Astarte</i> <i>gammareoides</i> <i>planifrons</i>			
<i>Cibicides</i> <i>lebasi</i> <i>lebasi</i>			
<i>Litostrea</i> <i>sp.</i>			
<i>Ammonia</i> <i>lunulata</i>			
10 <i>Terebratula</i> <i>oppima</i>			
<i>Spiriferina</i> <i>planaria</i>			
<i>Gigantopis</i> <i>modesta</i> <i>caerulea</i>			
<i>Lingula</i> <i>gigantea</i> <i>modesta</i>			
9 <i>Lingula</i> <i>gigantea</i> <i>modesta</i>			
<i>Astarte</i> <i>gammareoides</i> <i>planifrons</i>			
8 <i>Cerithium</i> <i>oblongum</i> <i>sp.</i>			
<i>Cerithium</i> <i>oblongum</i> <i>sp.</i>			
<i>Cerithium</i> <i>oblongum</i> <i>sp.</i>			
<i>Astarte</i> <i>gammareoides</i> <i>planifrons</i>			
7 <i>Terebratula</i> <i>sp.</i>			
<i>Cerithium</i> <i>oblongum</i> <i>sp.</i>			
<i>Cerithium</i> <i>oblongum</i> <i>sp.</i>			
<i>Cerithium</i> <i>oblongum</i> <i>sp.</i>			
6 <i>Bivalvis</i> <i>sp.</i>			
<i>Astarte</i> <i>gammareoides</i> <i>planifrons</i>			
5 <i>Cerithium</i> <i>oblongum</i> <i>sp.</i>			
<i>Bivalvis</i> <i>sp.</i>			
4 <i>Astarte</i> <i>gammareoides</i> <i>planifrons</i>			
<i>Cerithium</i> <i>oblongum</i> <i>sp.</i>			
<i>Bivalvis</i> <i>sp.</i>			
3 <i>Astarte</i> <i>gammareoides</i> <i>planifrons</i>			
<i>Bivalvis</i> <i>sp.</i>			
2			
1			

Πίν. IV. Παλαιοεκολογικά δεδουλένα από μέλέτη απολιθωμάτων

Της 2ης τομής.

Tabl. IV. Paleoecological data from the studied fossils of

Πλειστόκαινο εμφανίζεται στα 50 μ. απόλυτο υψόμετρο, κατά στην 2η θέση στα 200 μ. απόλυτο υψόμετρο.

4) Το περιβάλλον ιδηματογένεσης παραμένει το ίδιο.

Τότε συμπεραίνουμε ότι το πάχος των ιδημάτων του Κάτω Πλειστοκαίνου πρέπει να είναι τουλάχιστον 150 μ. Αηλαδή η περιοχή βυθιστάν κατά το Κάτω Πλειστόκαινο με μέση ταχύτητα της τάξης 0,2 mm/έτος ( $150 \text{ m} / 800.000 = 0.18 \text{ mm / étos}$ ).

Με το τέλος του Κάτω Πλειστοκαίνου η περιοχή αρχίζει να ανυψώνεται και δεδομένου ότι τα υπολείμματα βράκονται στα 450 μ. η μέση ταχύτητα ανύψωσης της περιοχής από το Μέσο Πλειστοκαίνο μέχρι σήμερα είναι  $450.000 / 800.000 = 0.56 \text{ mm/étois}$ .

Τα ρήγματα τα οποία επαναδραστηριοποιήθηκαν κατά την ανύψωση της περιοχής και πολύ περισσότερο αυτά που κόβουν τα πλειστοκαίνικά ιδήματα πρέπει να θεωρηθούν ενεργά.

## ΒΙΒΛΙΟΓΡΑΦΙΑ

- AGIP MINERARIA (1982). Foraminifera Padani. Seconda edizione Milano.
- ALEXOULI-LIVADITI, A. (1971). Contribution a la connaissance du Neogene de la region de Kalamata. Bull. Geol. Soc. Greece, 8, 2, p. 102-116, Athenes.
- ANGELIER, J. (1979). Recent Quaternary tectonics in the Hellenic arc. Examples of geological observations on land. Tecton.. 52, 267- 275.
- BE A.W.H. (1977). An Ecological, Zoogeographic and Taxonomic Review of Recent Planktonic Foraminifera in Oceanic Micropaleontology. A.T.S. Ramsan London. New York, San Francisco.
- BERCKHEMER, H. - KOWALCZYK, G. (1978). Postalpine geodynamics of the Peloponnesus. Alps, Apennines, Hellenides. Stuttgart. 38, p. 519-522.
- BIZON G. et J.J. (1984). Ecologie des microorganismes en Mediterranee occidentale ECOMED . Assoc. Fr. Techn. Petr., Paris.
- BIZON, J.J. & BUROLLET, P.F. (1984). Ecologie des microorganismes en Mediterranee occidentale ECOMED . Assoc. Fr. Techn. Petr.. Paris.
- BIZON, G. et MULLER, C. (1977). La limite Pliocene-Pleistocene dans l' île de Zanthe - la coupe de la Citadelle. C.R. somm. Soc. Geol. Fr.. 4, pp. 212-216.
- BLANC-VERNET, L. (1969). Contribution a l' etude des Foraminiferes de Mediterranee. Relations entre la microfaune et le sediment. Biocoenoses. thanatocoenoses pliocenes et quaternaires. Rec. Trav. Stat. Mar. Endoume 64(48).
- BLANC-VERNET, L. & KERAUDREN, B. (1969). Sur la presence du Calamrien a Hyalinea balthica dans les îles de Zakynthos et de Kephallinia (Grece). Bull. Mus. Anthropol. Prehist. Monaco 15, 91-106.
- BOSSIO, A., GIANNELLI, L., MAZZANTI, R., MAZZEI, R. & SALVATORINI, G. (1981). Gei stratiali del Messiniano il passagio

- Miocene-Pliocene) e la sezione plio-pleistocenica di Nugola nelle colline a NE del Monti Livornesi. IX Conv. Soc. Pal. Ital., 55-90, Pacini Pisa.
- BOSSIO, A., MAZZANTI, R., MAZZEI, R., MENESINI, E., MENCINI, C., SALVATORINI, G. & UGHI, R. (1981). Nuove osservazioni sulla stratigrafia delle formazioni plioceniche e pleistoceniche di Casciana Terme. IX Conv. Soc. Pal. Ital., p. 91-120. Pacini Pisa.
- B. P. Co. Ltd. (1971). The geological results of petroleum exploration in Western Greece. (Inst. Geol. Subsurf. Res.), 10, 1-73. Athens.
- BRASIER, M.D. (1980). Microfossils. George Allen & Unwin.
- DEMARCQ, G. (1979). Approche de l'evolution thermique au Neogene a partir des Invertebres marins mesogeens. Geobios, no 12, fasc. 4, p. 623-627. Lyon.
- DIENI, I. & MASSARI, FR. (1969). Il Neogene e il Quaternario dei Dintorni di Oro sei (Sardegna). Mem. Soc. Ital. Sc. Nat. e Mus. Civ. St. Nat. Milano, vol. XV, fasc. II, p. 91-141. Milano.
- DUFAURE, J. K. (1965). Problems de neotectonique dans le Peloponnese. Rev. d. Geogr. Phys. et d. Geol. Dynam. (2), 7, Fasc. 3, p. 235-252. Paris.
- GALL, J.C. (1976). Environements sedimentaires anciens et milieux de vie. Introduction a la Paleoecologie. Doin edit. 228p.. Paris.
- GERONIMO, Italo di. (1969). La sezione stratigrafica plio-pleistocenica di Monte Navone (Piazza Armerina, Enna). Atti Acad. Cioenia de Scienz. Nat. Catania, ser. VI, vol. XX, p. 81-146. Catania.
- GIANNELLI, MAZZANTI, R., MAZZEI, R. & SALVATORINI, G. (1981). Breve quadro stratigrafico e paleogeografico del Neogene e del Quaternario del Valdarno Inferiore della Val di Fine e della Val di Cicina IX Conv. Soc. Pal. Ital., p. 9-19. Pacini Pisa.
- HAGEMAN, J. (1977). Stratigraphy and sedimentary history of the Upper Cenozoic of the Pyrgos-Area (Western-Peloponnesus), Greece. Ann. geol. Pays Hellen., 28, 299-333. Athenes.
- HAGEMAN, J. (1979). Benthic foraminiferal assemblages from Plio-Pleistocene open bay so lagoonal sediments of the western-Peloponnesus. Utr. Microp. Bull., 20, Utrecht.
- JOHNSON, H.J. (1957). Calcareous Algae in Geology of Saipan Part 3 Paleontology. Geol. Surv. Prof. Paper 280-E-J, pp. 209-246, pl. 37-60, Washington.
- KELLETAT, D., KOWALCZYK, G., SCHRODER, B., WINTER, K.P. (1978). Neotectonics in the Peloponnesien costal regions. Alps, Apennines, Hellenides, Stuttgart 1978, No 38, p. 512-518.
- KELLETAT, D. & SCHRODER, B. (1975). Vertical displacement of Quaternary shorelines in the Peloponnesos Greece. Proc. Verb. GIESM. Congr. Monaco.
- KERAUDREN, B. (1970). Quaternaire marin de la Grece (premiere partie). Bull. Mus. d. Autrop. Prehist. Monaco, 16, 6-153.
- KOYTSOUVELI, A. (1987). Etude stratigraphique des formations pliocenes et pleistocenes en Messenie occidentale (Peloponnes, Grece). These Univ. d'Aix-Masseille II, 162

- P., Luminy.
- KOWALCZYK, G. & WINTER, P. (1979). Neotectonic and structural development of the Southern Peloponnesus. A.G.P.H., Tome hors serie 1979, fasc. II, p. 637-646.
- KOWALCZYK, G. und WINTER, K.-P. (1979). Die geologische Entwicklung der Kyllini - Halbinsel im Neogen und Quartär (West Peloponnes, Griechenland). Z. dt. geol. Ges., 130, Hannover.
- MARIOLAKOS, H. (1975). Σκέψεις κατ απόφεις επί ορισμένων προβλημάτων της γεωλογικής και τεκτονικής δομής της Πελοποννήσου. A.G.P.H., XXVII 1975, 215-313, Αθήνα.
- MARIOLAKOS, I. (1979). A proposed tectonic model for the evolution of Gulf of Korinth. Field guide in the Neogene of Megara - Peloponnesus - Zakynthos, VII Intern. Congr. on Medit. Neog. Strat. Athens, 1979.
- MARIOLAKOS, I. & PAPANIKOLAOU, D. (1981). The Neogene basins of the Aegean arc from the paleogeographic and the geodynamic point of view. Intern. Symp. (H.E.A.T.) Hell. Arc. and Trench, Athens 1981, Abstracts 65-66, Proceedings 1, 383-399.
- MARIOLAKOS, I., PAPANIKOLAOU, D., LAGIOS, E. (1985). A neotectonic geodynamic model of Peloponnesus based on morphotectonics, repeated gravity measurements and seismicity. Geol. Sb., Bso, 3-17.
- MARIOLAKOS, H., ΣΑΜΠΩ, Β., ΑΛΕΞΟΠΟΥΛΟΣ, Α., ΔΑΝΑΜΟΣ, Γ., ΛΕΚΚΑΣ, Ε., ΛΟΓΟΣ, Ε., ΛΟΖΙΟΣ, Σ., ΜΕΡΤΖΑΝΗΣ, Α. & ΦΟΥΝΤΟΥΑΗΣ, Ι. (1987). Μικροδιανούκλι μελέτη Καλαμάτας. ΟΑΣΠ. 133 σελ., Αθήνα.
- MIRKOU, R. - M. (1987). Foraminifères benthiques plio-pleistocenes de Zanthe. Interpretation paleobathymétrique. Ecl. Geol. Helv., vol.80, Nr. 1, p. 109-125, Bale.
- SCHRODER, B. (1975). Bemerkungen zu marinen Terrassen des Quartärs im NE Peloponnes- Griechenland. N. Jb. Geol. Palaont. Abh., 49, 2, S. 148-161, Stuttgart.
- PAPANIKOLAOU, Δ. (1986). Γεωλογία της Ελλάδας.
- VENEC-PYRET, M.T. (1984). Ecologie des microorganismes en Méditerranée occidentale ECOMED . Assoc. Fr. Techn. Petr. Paris.
- ΨΩΝΗΣ, K. (1986). Γεωλογικός χάρτης της Ελλάδας, ψύλλο Καλαμάτα, κλμ. 1:50.000, εκδόσεις ΙΓΜΕ.
- ΖΕΛΕΛΙΔΗΣ, Α., ΚΟΝΤΟΠΟΥΛΟΣ, Ν., ΔΟΥΤΣΟΣ, Θ. (1986). Γεωτομή στο Νεογενές και Τεταρτογενές της Πελοποννήσου. Ε.Γ.Ε., Ζο Επιστ. Συνέδριο., Περιλήψεις, 66-67.
- ZWAAN, G.J. van der (1980). The impact of climate changes on deep sea benthos. Proc. Konink. Nederl. Akad. Wetens, ser. B. 83(4), 379-397.